

# شبیه‌سازی، تحلیل حساسیت و عدم قطعیت تغییرات تراز آب در یاچه ارومیه نسبت به مؤلفه‌های بیلان آبی آن

مجید دلاور<sup>۱</sup>، سعید مرید<sup>۲\*</sup>، مهدی شفیعی‌فر<sup>۳</sup>

۱- دانشجوی کارشناسی ارشد سازه‌های آبی، دانشگاه تربیت مدرس

۲- دانشیار گروه سازه‌های آبی، دانشکده کشاورزی، دانشگاه تربیت مدرس

۳- دانشیار بخش مهندسی عمران، دانشکده فنی و مهندسی، دانشگاه تربیت مدرس

\* تهران، صندوق پستی ۱۴۱۱۵-۳۳۶

[morid\\_sa@modares.ac.ir](mailto:morid_sa@modares.ac.ir)

**چکیده**- دریاچه ارومیه به عنوان یکی از بزرگترین دریاچه‌های ایران، تخلیه‌گاه و مقصد نهایی مجموعه‌های از رودخانه‌های شمال غرب کشور است. با توجه به تغییرات زیاد بارندگی و همچنین وقوع خشکسالی‌ها و سالهای پر آبی در حوضه این دریاچه، تراز آن نوسانات و تغییرات زیادی دارد. آگاهی از این نوسانات در بررسی مسائل مرتبط، از جمله ریسک‌پذیری تأسیسات و سازه‌های وابسته، تغییرات ذخیره آبی دریاچه، ساخت و سازهای ساحلی و محیط زیست اهمیت دارد و با توجه به تصادفی بودن فرایند حاکم، بررسی عدم قطعیت، بر دقت تحلیلها خواهد افزود.

هدف اصلی این تحقیق، شبیه‌سازی نوسانات و تراز ماهیانه دریاچه ارومیه است. لذا سعی شده است با استفاده از روش‌های مختلفی مانند معادله بیلان آبی دریاچه، معادله همبستگی چندگانه و شبکه‌های عصبی مصنوعی (ANNs)، شبیه‌سازی نوسانات دریاچه بررسی شود. بدین منظور از داده‌های ماهیانه مؤلفه‌های مؤثر بر بیلان دریاچه از قبیل دبی ورودی، بارندگی متوسط و تبخیر متوسط از سطح آزاد آب استفاده شده است. بهمنظور بررسی قابلیت روش‌های به کاررفته در شبیه‌سازی نوسانات تراز آب از تحلیل‌های عدم قطعیت و حساسیت استفاده شد. نتایج مطالعات حاکی از آن است که مدل شبکه عصبی با کاربرد همزمان دبی تجمعی ورودی، بارندگی ماهیانه و تبخیر ماهیانه، بهترین دقت و کمترین حساسیت را در شبیه سازی نوسانات و تراز آب دریاچه دارد و عدم قطعیت نتایج حاصل از آن دارای دامنه بیشتری است.

**کلید واژگان:** شبیه‌سازی، دریاچه ارومیه، بیلان آبی، شبکه عصبی، عدم قطعیت، حساسیت.

آن است. این عامل نسبت به اقلیم و عاملهای مرتبط با آن یا برخورد لایه‌های تکتونیکی واکنش معنا داری نشان می‌دهد (Harrison, 1989). اما بیشتر مطالعات انجام شده در زمینه بررسی و مدل‌سازی نوسانات دریاچه‌ها به تفسیر تغییرات تراز آب آنها با توجه به پارامترهای اقلیمی منطقه معطوف بوده است.

**۱ - مقدمه**  
مطالعه نوسانات تراز آب دریاچه‌ها از گذشته‌ای دور مورد توجه متخصصان و دانشمندان علوم مختلف بوده است. تحقیقات و مطالعاتی مانند تعیین خط ساخت و ساز ساحلی، پیش‌بینی حمل رسوب، پتانسیل فرسایش سواحل و تعیین حجم آب موجود در دریاچه‌ها به شکلی متأثر از

تحلیل قرار گرفت (Jones et al., 2001). به علت ماهیت تصادفی پدیده‌های طبیعی و نیز گستردگی عوامل تأثیرگذار و نامعلوم، نتایج حاصل از مطالعات تراز آب دریاچه‌ها همواره با نوعی شک و تردید همراه بوده و آنها را باید همراه با مقداری تغییر تصادفی در نظر گرفت که به آن عدم قطعیت نتایج گفته می‌شود (Eckhardt et al., 2003). بنابراین آگاهی از میزان عدم قطعیت می‌تواند در کاربرد نتایج تحقیقات مربوط سودمند باشد.

از میان مطالعات انجام شده در این زمینه می‌توان به تحقیق (Vrijling et al. 1999) اشاره کرد که به بررسی تأثیر عدم قطعیت تراز آب بر طراحی آببندی‌های محافظ سیل بر روی دریاچه ایجسل<sup>7</sup> در هلند پرداختند. در این مطالعه، میزان عدم قطعیت مربوط به تغییرات تراز آب با توجه به عوامل تأثیرگذار مانند سرعت باد و ارتفاع امواج برآورد شد (Vrijling et al., 1999).

تحقیق حاضر تلاشی است برای شبیه‌سازی نوسانات تراز آب دریاچه ارومیه با توجه به عوامل مؤثر در بیلان آبی که در آن قابلیت روش‌های معادله بیلان آبی، همبستگی چندگانه و شبکه عصبی مصنوعی ارزیابی شده است. همچنین در این مطالعه عدم قطعیت نتایج روش‌های فوق و حساسیت تغییرات تراز محاسباتی نسبت به پارامترهای مؤثر بررسی و در نهایت حساسیت زمانی دریاچه برای رسیدن به یک تراز پایدار با توجه به سناریوهای مختلف کاهش دبی ورودی به دریاچه ارزیابی شد.

## ۲- مواد و روشها

### ۱-۲- منطقه مطالعه

دریاچه ارومیه با وسعتی در حدود ۵۷۵۰ کیلومتر مربع در شمال غربی ایران در استان آذربایجان غربی و در نزدیکی شهر ارومیه واقع شده است. تراز کف دریاچه ۱۲۶۸ متر و تراز متوسط سطح آب دریاچه ۱۲۷۶/۲ بوده و دامنه نوسان از ۱۲۷۴/۱۳ تا ۱۲۷۸/۴ متر از سطح دریا در ۳۰

در تحقیقی که با هدف بررسی علل کاهش تراز آب دریاچه‌های بسته کیلاملبت<sup>1</sup> و گنترک<sup>2</sup> در غرب استرالیا انجام شد، نحوه تغییرات تراز نسبت به بارندگی، تبخیر و دبی ورودی بررسی شد. نتایج این مطالعه حاکی از آن است که مهمترین علت پایین افتادگی تراز آب دریاچه‌ها، کاهش نسبت بارندگی به تبخیر از سال ۱۸۴۰ بوده است.

بررسی زمان رسیدن به تعادل دوباره تراز دریاچه‌ها در این تحقیق نیز دلالت بر تأثیرپذیری بیشتر زمان و میزان تغییرات تراز نسبت به بارندگی بر سطح حوضه دارد (Jose, 1999). به همین ترتیب نتایج مطالعه انجام شده بر روی دریاچه بیکال<sup>3</sup> در سیبری جنوبی حاکی از آن است که در دورانهای گرم منطقه، تراز آب دریاچه بالا بوده و در دوران سرد افت قابل ملاحظه‌ای داشته و این امر ناشی از ورود حجم بیشتری از آب در دوران گرم بوده است (Kebede et al., 2004). نیز بودجه آبی دریاچه تانا<sup>4</sup> در اتیوپی را بر اثر تغییرات بارندگی و تبخیر از سطح دریاچه و همچنین میزان جریان خروجی و ورودی به دریاچه تعیین و بر اساس معادله بیلان آبی دریاچه، میزان تغییر تراز آب را شبیه‌سازی کردند. در این مطالعه حساسیت<sup>5</sup> تراز آب نسبت به عاملهایی مانند بارندگی، حجم جریان ورودی و خروجی و جریان زیر زمینی بررسی شد که حاکی از حساسیت بسیار زیاد تغییرات تراز آب نسبت به حجم جریان ورودی و خروجی و با توجه به کاهش متغیرهایی مانند دبی ورودی و خروجی و بارندگی انجام دادند. در این کار با استفاده از روشی موسوم به روش گرافیکی<sup>6</sup> رفتار تراز دریاچه با توجه به نرخهای متفاوت کاهش متغیرهای ذکر شده مورد تجزیه و

1. Keilamlbete

2. Gnetuk

3. Bikal

4. Tana

5. Sensitivity

6. Graphical Approach

مطالعه تغییرات تراز آب دریاچه) برای سالهای ۱۳۴۵ تا ۱۳۸۳ تهیه و استفاده شد.

## ۲-۲- شیوه‌سازی نوسانات ماهیانه دریاچه با استفاده از معادله بیلان آبی

ساده‌ترین روش برای شیوه‌سازی تغییرات تراز آب، استفاده از معادله بیلان آبی دریاچه است. معادله مربوط به تغییرات تراز آب دریاچه به روش بیلان آبی با توجه به پارامترهای مؤثر بر چرخه آبی به صورت زیر بیان می‌شود (لازم است ذکر شود که به علت بالا بودن تراز آب سفره‌های آب زیرزمینی اطراف دریاچه امکان نفوذ آن به این سفره‌ها در عمل ناچیز و قابل صرف‌نظر است (صدراء، ۱۳۸۲ و آب نیرو، ۱۳۷۱):

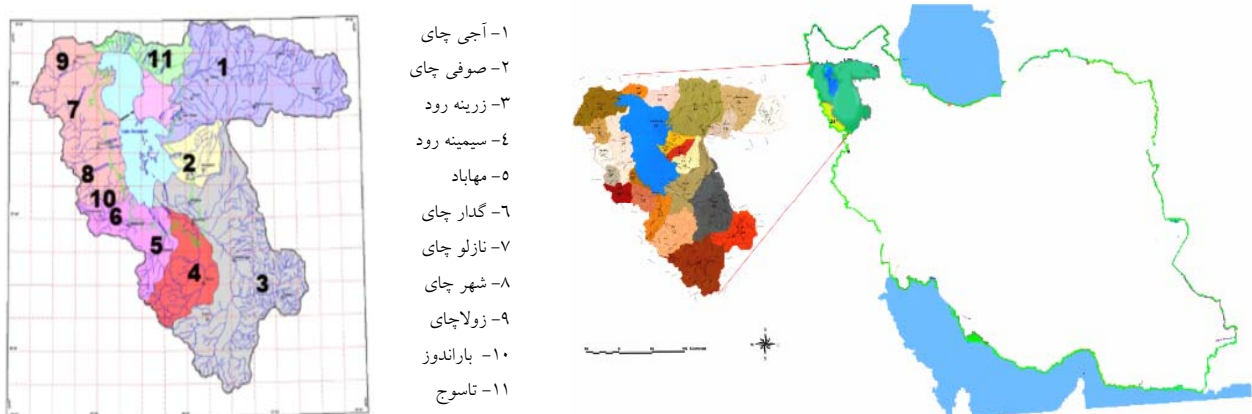
$$\Delta H = P(t) - E(t) + 0.001 \cdot \left( \frac{R_{in}(t)}{A(H)} \right) \quad (1)$$

که در آن  $\Delta H$  تغییرات تراز آب دریاچه نسبت به ماه قبل ( $mm$ ),  $P(t)$  ارتفاع معادل بارش بر روی سطح دریاچه در ماه  $t$ , ( $mm$ ),  $E(t)$  ارتفاع معادل تبخیر از سطح دریاچه در ماه  $t$ , ( $mm$ )  $R_{in}(t)$ , ( $m^3$ ) حجم جریان ورودی دریاچه در ماه  $t$  و  $A(H)$  مساحت دریاچه در تراز متوسط ماهیانه (میانگین تراز دریاچه در ابتدا و انتهای ماه مورد نظر) ( $km^2$ ) است.

سال اخیر متغیر بوده است. زمینهای اطراف دریاچه بسیار کم شیب بوده و بخش‌هایی از آن در فصل بهار به زیر آب می‌روند. این دریاچه سیستم سنته‌ای است که مجموعه‌ای از رودخانه‌ها که بزرگترین آنها زرینه رود است به آن تخلیه می‌شوند (صدراء، ۱۳۸۲). در شکل ۱ موقعیت دریاچه همراه حوضه‌های آبریز تغذیه کننده آن نشان داده شده است.

با توجه به اهداف تحقیق، آمار و اطلاعات مورد نیاز شامل دبی رودخانه‌های ورودی، بارندگی و تبخیر در دوره آماری ۱۳۵۰-۵۱ ۱۳۷۸-۱۳۷۹ از ایستگاه‌های منطقه جمع‌آوری شد. در انتخاب ایستگاه‌ها سعی شد حتی امکان از تمامی ایستگاه‌های هیدرومتری منطقه که ورودی‌های دریاچه را شامل می‌شوند و همچنین ایستگاه‌های بارانسنجی و تبخیرسنجی که میان شرایط اقلیمی دریاچه هستند، استفاده شود.

نواقص آماری موجود در داده‌های مربوط، با استفاده از روش‌های همبستگی تکمیل شد. همچنین به منظور برآورد تبخیر از سطح با استفاده از داده‌های تشکیل تبخیر، از عدد ۰/۷ به عنوان ضریب اصلاح کننده داده‌ها استفاده شد. اطلاعات مربوط به تغییرات ماهیانه تراز دریاچه از ایستگاه بندر گلمانخانه متعلق به سازمان آب منطقه‌ای آذربایجان غربی (مطمئن‌ترین و مجھزترین ایستگاه برای



شکل ۱ موقعیت دریاچه ارومیه و زیر حوضه‌های تغذیه کننده آن

استفاده شده است. برای این مطالعه، شبکه‌های عصبی به دو شکل به کار برده شده: الف) شبیه‌سازی مستقیم تراز آب ( $L_t$ )، ب) شبیه‌سازی تغییرات تراز هر ماه نسبت به ماه قبل ( $\Delta L_t$ ) و محاسبه تراز آب ماهیانه با در نظر گرفتن تراز متوسط ماه قبل از دوره شبیه‌سازی به عنوان مبنای محاسبات. برای رسیدن به بهترین نتایج، مدل‌های ورودی متنوعی از شبکه‌های عصبی تعریف شد که تعدادی از آنها در جدول ۱ ارائه شده است.

در این روابط،  $L_t$  تراز دریاچه در ماه  $t$  بر حسب متر،  $\Delta L_t$  تغییرات تراز دریاچه ماه  $t$  نسبت به ماه قبل بر حسب میلیمتر است.

در ادامه، ۷۰ درصد دوره آماری موجود برای آموزش و ۳۰ درصد باقی‌مانده برای مرحله صحت‌یابی استفاده شده است. در جدول ۲ نتایج مدل‌های ورودی (جدول ۱) را برای معماری‌های برگریده و بر اساس معیارهای ضریب همبستگی ( $R^2$ )، ریشه میانگین مجدد خطای (RMSE)، متوسط قدر مطلق خطای (MAE) و مجموع مربعات خطای (SSE) نشان می‌دهد.

همان‌طور که ملاحظه می‌شود مدل‌های شبیه‌سازی تغییرات تراز آب ( $\Delta L_t$ ) عملکرد بسیار بهتری نسبت به مدل‌های شبیه‌سازی تراز آب ( $L_t$ ) دارند. در این مدل‌ها با اضافه شدن همزمان دبی، تبخیر و بارندگی هر ماه به عنوان ورودی، عملکرد شبکه بهبود می‌یابد. در مرحله محاسبه تراز آب دریاچه، مدل‌های ۱۰، ۶ و ۴ با ضریب همبستگی کلی ۹۰٪، ۸۶٪ و ۸۱٪ مناسب‌ترین مدل‌ها برای شبیه‌سازی تراز آب است.

## ۵-۲- تحلیل عدم قطعیت مدل‌ها

پارامترهای به کار رفته در مدل‌های شبیه‌سازی تراز آب، ناشی از وجود عواملی مانند خطاهای اندازه‌گیری، ماهیت تصادفی پارامترهای آنها، خطاهای تخمین داده‌ها و مدل‌سازی می‌باشد و همواره با نوعی عدم قطعیت همراه هستند و لذا کاربرد

در این روش با استفاده از آمار ماهیانه پارامترهای ذکر شده در دوره آماری ۱۳۵۰-۱۳۷۹ تغییرات تراز در هر ماه برآورد شده و سپس با در نظر گرفتن تراز متوسط آب دریاچه در ماه اول دوره شبیه‌سازی (مهرماه سال ۱۳۵۰) به عنوان مبدا، تراز در ماههای بعدی محاسبه می‌شود.

## ۳-۲- شبیه‌سازی نوسانات ماهیانه دریاچه با استفاده از معادله همبستگی چندگانه

در این بخش، تغییرات تراز آب دریاچه بر اساس روش همبستگی چندگانه و با فرض اینکه تغییرات تراز دریاچه به طور مستقل با ترکیب خطی مؤلفه‌های سه‌گانه اصلی بیلان مرتبط است، شبیه‌سازی می‌شود. در این روش ضرایب مؤلفه‌های مؤثر لزوماً مانند معادله ساده بیلان برابر یک نیستند. بدین ترتیب معادله تغییرات تراز آب به صورت زیر خواهد بود:

$$\Delta H = 1.242Q_t + 2.136P_t - 0.824E_t - 32.14 \quad (2)$$

که در آن  $Q_t$  ارتفاع معادل حجم جریان ورودی به دریاچه در ماه  $t$  (mm)، می‌باشد.

## ۴-۲- شبیه‌سازی نوسانات ماهیانه دریاچه با استفاده از شبکه عصبی مصنوعی

شبکه‌های عصبی مدل‌های محاسباتی هستند که می‌توانند رابطه ورودی‌ها و خروجی‌های سیستم فیزیکی را توسط شبکه‌ای از گره‌ها (نرونها) که همگی متصل هستند، تعیین کنند. میزان فعالیت هر یک از این اتصالات در فرایند یادگیری تنظیم می‌شود و پس از آن، مدل می‌تواند قوانین و روابط میان خروجی‌ها - ورودیها را کشف کند، حتی اگر این قوانین غیرخطی و پیچیده باشند (Hykin, 1994).

برای این منظور روشهای مختلفی وجود دارد که در این تحقیق به منظور شبیه‌سازی تراز آب دریاچه ارومیه از شبکه عصبی پیشرو<sup>۱</sup> و الگوی آموزش انتشار برگشتی<sup>۲</sup>

1. Feed-forward neural networks

2. Back prorogation

است؛ هر متغیر با استفاده از اعداد تصادفی تولید شده و تابع توزیع احتمال مربوط به آن، شبیه‌سازی و سپس متناظر با آنها، خروجی هر مدل یا معادله محاسبه می‌شود. این کار بارها تکرار شده و سپس با استفاده از داده‌های خروجی تولید شده به تجزیه و تحلیل عدم قطعیت مدل انجام می‌شود.

مدل‌های مذکور مستلزم داشتن اطلاعاتی در باره عدم قطعیت آنها با توجه به عدم قطعیت پارامترهای ورودی بوده و تنها بدین وسیله است که اطمینان و اعتماد بیشتری در خصوص تصمیم‌گیری‌های ناشی از کاربرد این معادلات حاصل می‌شود (Hope et al., 2004). یکی از مهمترین روش‌های تحلیل عدم قطعیت، شبیه‌سازی مونت کارلو است. اساس تحلیل عدم قطعیت در این روش، تولید اعداد تصادفی

جدول ۱ مدل‌های به کاررفته در شبیه‌سازی تراز آب دریاچه ارومیه با استفاده از شبکه عصبی

$L_t = f(Q_{t-2}, P_{t-2}, E_{t-2})$	۱۳	$\Delta L_t = f(Q_t, E_t)$	۷	$L_t = f(Q_t)$	۱
$\Delta L_t = f(Q_{t-2}, P_{t-2}, E_{t-2})$	۱۴	$\Delta L_t = f(P_t, E_t)$	۸	$\Delta L_t = f(Q_t)$	۲
$L_t = f(Q_{t-3}, P_{t-3}, E_{t-3})$	۱۵	$L_t = f(Q_t, P_t, E_t)$	۹	$L_t = f(Q_t, P_t)$	۳
$\Delta L_t = f(Q_{t-3}, P_{t-3}, E_{t-3})$	۱۶	$\Delta L_t = f(Q_t, P_t, E_t)$	۱۰	$\Delta L_t = f(Q_t, P_t)$	۴
$L_t = f(Q_{t-12}, Q_t, P_{t-3}, E_{t-3})$	۱۷	$L_t = f(Q_{t-1}, P_{t-1}, E_{t-1})$	۱۱	$L_t = f(Q_t, E_t)$	۵
$L_t = f(Q_{t-12}, Q_{t-24}, Q_t, P_{t-3}, E_{t-3})$	۱۸	$\Delta L_t = f(Q_{t-1}, P_{t-1}, E_{t-1})$	۱۲	$\Delta L_t = f(Q_t, E_t)$	۶

جدول ۲ نتایج مدل‌های ورودی برای شبیه‌سازی تراز و تغییرات تراز دریاچه ارومیه

شماره مدل ورودی	معماری	خروچی	آموزش			صحت یابی		
			R <sup>2</sup>	RMSE	MAE	R <sup>2</sup>	RMSE	MAE
۱	۱-۲-۱	$L_t$	۰/۱۸	۰/۳۹	۰/۳	۰/۰۷	۱/۷	۱/۰
۳	۲-۲-۱	$L_t$	۰/۳۸	۰/۳۴	۰/۳	۰/۱	۱/۸	۱/۰
۵	۲-۴-۱	$L_t$	۰/۴	۰/۳۹۳	۰/۳	۰/۱۲	۱/۸	۱/۱
۷	۲-۴-۱	$L_t$	۰/۳۸	۰/۳۴	۰/۳	۰/۰۴	۱/۸	۱/۱
۹	۳-۲-۱	$L_t$	۰/۳۷	۰/۳۴	۰/۳	۰/۱۵	۱/۸	۱/۱
۱۱	۳-۴-۱	$L_t$	۰/۴۵	۰/۳۶	۰/۳	۰/۱۱	۱/۸	۱/۰
۱۳	۳-۳-۱	$L_t$	۰/۴۶	۰/۳۴	۰/۳	۰/۰۵	۱/۷	۱/۰
۱۵	۳-۴-۱	$L_t$	۰/۴۵	۰/۳۶	۰/۳	۰/۲	۱/۶	۰/۹
۱۷	۳-۸-۸-۱	$L_t$	۰/۴۴	۰/۳۸	۰/۴	۰/۳۲	۲	۱/۳
۱۸	۳-۳-۱	$L_t$	۰/۳۴	۷۸۷۸	۵۹	۰/۱۹	۱۲۰	۹۲/۰
۲	۱-۲-۱	$\Delta L_t$	۰/۶۵	۸۶/۸۶	۷۳/۸	۰/۷۶	۷۹/۳	۶۸/۰
۴	۲-۳-۱	$\Delta L_t$	۰/۸۲	۶۲/۴۴	۴۶/۹	۰/۸۲	۷۹/۵	۵۸/۹
۶	۲-۳-۱	$\Delta L_t$	۰/۸۳	۶۰/۶۳	۴۵/۱	۰/۸۳	۷۸/۷	۵۹/۴
۸	۲-۲-۲-۱	$\Delta L_t$	۰/۶۵	۸۶/۹۱	۶۳/۳	۰/۵۹	۱۰۲/۵	۷۵/۱
۱۰	۳-۵-۳-۱	$\Delta L_t$	۰/۹	۴۶/۳۱	۳۴	۰/۷۹	۸۲/۳	۵۷/۱
۱۲	۳-۴-۱	$\Delta L_t$	۰/۸۷	۵۸/۷	۴۱/۷	۰/۸۴	۶۳/۱	۴۲/۸
۱۴	۳-۲-۲-۱	$\Delta L_t$	۰/۷۲	۷۶/۱	۵۲/۲	۰/۷۹	۷۲/۵	۴۷/۶
۱۶	۳-۲-۱	$\Delta L_t$	۰/۶۸	۸۲/۹۱	۵۷/۱	۰/۵۶	۱۰۹/۲	۷۸/۳

حسب متغیرهای ورودی به صورت زیر محاسبه می‌شود:

$$O = b_0 + b_1 p_1 + b_2 p_2 + \dots + b_n p_n \quad (3)$$

که در آن  $b_i$  ضریب برازش،  $O$  متغیر خروجی مدل و  $p_i$  پارامتر ورودی  $i$  ام است. ضرایب  $b_i$  نشان‌دهنده شاخصهای غیر نرمال هر پارامتر است. برای محاسبه ضرایب حساسیت نرمال هر پارامتر از معادله زیر استفاده می‌شود:

$$\beta_i = b_i \frac{S_{pi}}{S_0} \quad (4)$$

که در آن  $S_0$  انحراف معیار پارامترهای خروجی شبیه‌سازی شده،  $S_{pi}$  انحراف معیار پارامتر ورودی  $i$  ام و  $\beta_i$  ضریب حساسیت نرمال پارامتر ورودی  $i$  ام است (Charles, 2002).

### ۳- نتایج

#### ۱-۳- شبیه‌سازی تراز دریاچه

در شکل ۲ نتایج حاصل از شبیه‌سازی تراز ماهیانه دریاچه با استفاده از معادله بیلان آبی همراه با تراز واقعی آن نشان داده شده است. همان‌طور که ملاحظه می‌شود تقریباً در تمامی دوره‌های شبیه‌سازی تراز محاسباتی کمتر از حالت واقعی آن است. بنابراین با وجود اینکه همبستگی مناسبی ( $R^2 = 0.65$ ) بین تغییرات تراز واقعی و محاسباتی در روش مذکور وجود دارد، اما به علت ماهیت تجمعی خطاهای برای تعیین تراز آب در طول دوره شبیه‌سازی - که به ناشی از عدم وجود اطلاعات کامل و جامع از اجزای معادله است - روش بیلان آبی با توجه به داده‌های موجود روش مناسبی ارزیابی نمی‌شود. لذا لازم است تصحیحاتی در آن بهمنظور تعدیل خطاهای صورت گیرد که در بحث شبیه‌سازی تراز توسط روش برازش چندگانه و شبکه عصی به این مهم پرداخته شده است.

شکل ۳ نتایج شبیه‌سازی شده تراز آب توسط معادله برازش چندگانه (معادله(۲)) و مقایسه آن با داده‌های واقعی را نشان می‌دهد. در شکل ۴ نیز تراز شبیه‌سازی شده دریاچه توسط مدل ۱۰ شبکه عصی به عنوان برترین مدل با داده‌های مشاهده شده مقایسه شده است.

میزان عدم قطعیت پارامتر خروجی از طریق محاسبه شاخصهای آماری (انحراف معیار، دامنه، ضریب تغییرات) یا تعیینتابع توزیع آن نمایش داده می‌شود (Skebede et al., 2005).

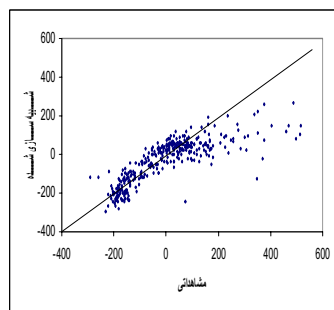
در این قسمت سعی می‌شود که عدم قطعیت هر مدل در تعیین متوسط تغییرات تراز آب در طی دوره شبیه‌سازی (۱۳۷۹-۱۳۵۰) به روش مونت کارلو محاسبه و مطالعه شود. بهمنظور بررسی عدم قطعیت مرتبط با هر مدل ابتدا لازم است مشخصات آماری مربوط به متغیرهای هر مدل محاسبه شود. بدین منظور برای هر پارامتر بهترین توزیع آماری به وسیله آزمون<sup>۱</sup> RSS و با استفاده از آمار ماهیانه آنها تعیین شد که مناسبترین توزیع برای دبی و ارتفاع ورودیهای سطحی، توزیع گامای دو پارامتری و برای داده‌های تبخیر و بارندگی ماهیانه، توزیع لگ نرمال تشخیص داده شد. سپس به روش مونت کارلو و با استفاده از روش‌های نمونه‌گیری تصادفی ساده<sup>۲</sup> و مرتع لاتین (LHS) به ترتیب ۱۰۰۰۰ و ۱۰۰۰ نمونه از هر متغیر تولید و تحلیل عدم قطعیت مدل‌های مربوطه انجام شد.

#### ۶- تحلیل حساسیت مدلها

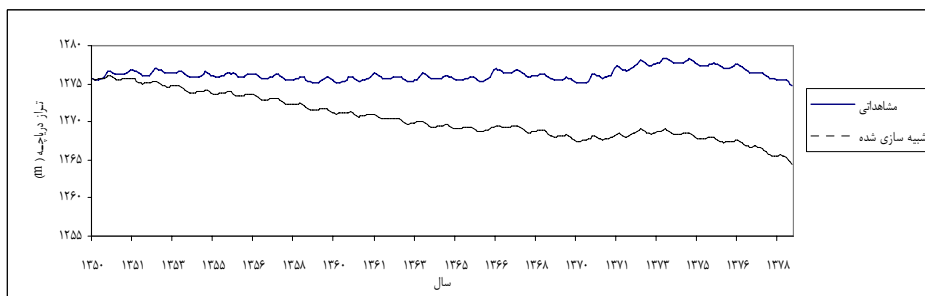
بهمنظور بررسی سهم هر یک از پارامترها در عدم قطعیت تغییرات تراز سطح آب محاسبه شده توسط مدلها، از تحلیل حساسیت استفاده می‌شود. برای تحلیل حساسیت هر مدل نسبت به پارامترهای مؤثر در آن، از ضرایب حساسیت نرمال ( $\beta$ ) استفاده می‌شود. برای استخراج این ضرایب، فرض می‌شود که همه پارامترها بر طبق تابع احتمال مربوط و در محدوده مجاز خود تغییر می‌کنند و سپس با استفاده از یکی از روش‌های شبیه‌سازی پارامترها مانند روش مونت کارلو متغیرهای مربوطه به تعداد دفعات زیاد (حدود ۵۰۰۰ تا ۲۵۰۰۰ بار) تولید و با استفاده از آنها در هر مرحله، خروجی مدل محاسبه می‌شود. پس از شبیه‌سازی سیستم، برازش چندگانه پارامتر خروجی بر

1. Residual Sum of Squares

2. Random

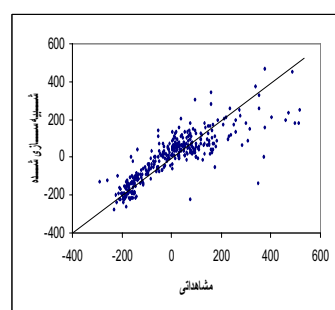


(الف)

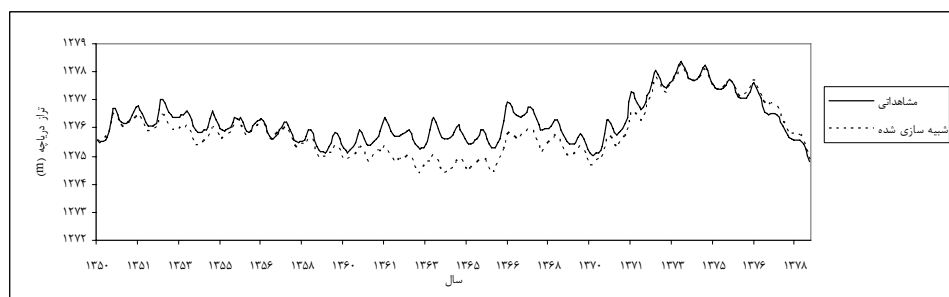


(ب)

**شکل ۲** الف- مقایسه تراز آب مشاهده شده و محاسبه شده توسط معادله بیلان آبی،  
ب- نمودار همبستگی تغییرات تراز واقعی و مشاهده شده توسط معادله بیلان آبی



(الف)



(ب)

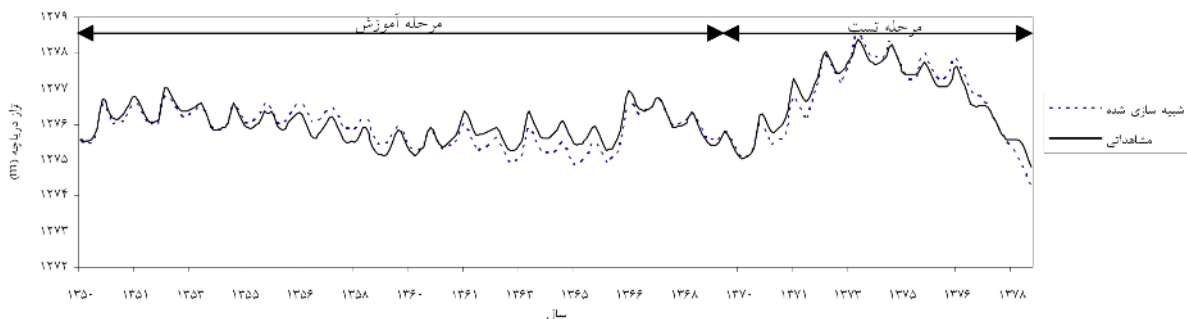
**شکل ۳** الف- مقایسه تراز آب مشاهده شده و محاسبه شده توسط معادله همبستگی چندگانه  
ب- نمودار همبستگی بین تغییرات تراز واقعی و محاسباتی توسط معادله (۲)

### ۳-۳- تحلیل عدم قطعیت مدلها

به منظور تحلیل عدم قطعیت مدل‌های شبیه‌سازی، مشخصات آماری نتایج خروجی هر مدل با استفاده از کاربرد نمونه‌های تولید شده به روش مونت‌کارلو بررسی شد که شرح مختصری از آنها در جدول ۴ آورده شده است. ملاحظه می‌شود که با پیچیده شدن مدلها، انحراف معیار و عدم قطعیت نتایج حاصل از آنها نیز افزایش می‌یابد.

### ۲-۳- مقایسه دقیقت مدلها

برای ارزیابی قابلیت مدل‌های مذکور در شبیه سازی تراز آب، میزان دقیقت آنها با استفاده از شاخصهای ضریب همبستگی ( $R^2$ )، ریشه میانگین مجدد خطا ( $RMSE$ ) و متوسط قدر مطلق خطا ( $MAE$ ) مقایسه شد (جدول ۳). همان‌طور که ملاحظه می‌شود مدل شبکه عصبی و بیلان آبی به ترتیب بهترین و بدترین عملکرد را در زمینه شبیه‌سازی تراز و نوسانات ماهیانه دریاچه ارومیه داشته و مدل برآش چندگانه نیز در حد واسطه مدل‌های یاد شده قرار دارد.



شکل ۴ مقایسه نتایج حاصل از مدل ۱۰ در شبیه‌سازی تراز هرماه با داده‌های مشاهده شده در ایستگاه گلمانخانه

جدول ۳ مقایسه دقیقت مدل‌های شبیه‌سازی نوسانات و تراز ماهیانه آب دریاچه ارومیه

متغیر محاسباتی	تغییرات تراز ماهیانه دریاچه (mm)			تراز ماهیانه دریاچه (m)		
	$R^2$	RMSE	MAE	$R^2$	RMSE	MAE
شاخص						
مدل بیلان آبی	۰/۶۵	۹۱/۵۵	۶۱/۲۵	۰/۰۱	۶/۵۲	۵/۷۷
مدل رگرسیون چندگانه	۰/۷۱	۷۷/۲۴	۵۳/۶	۰/۸۴	۰/۵۱	۰/۳۹
مدل شبکه عصبی (با مدل ورودی ۱۰)	۰/۸۴	۶۰/۹۴	۴۱/۸۱	۰/۹	۰/۲۶	۰/۲۲

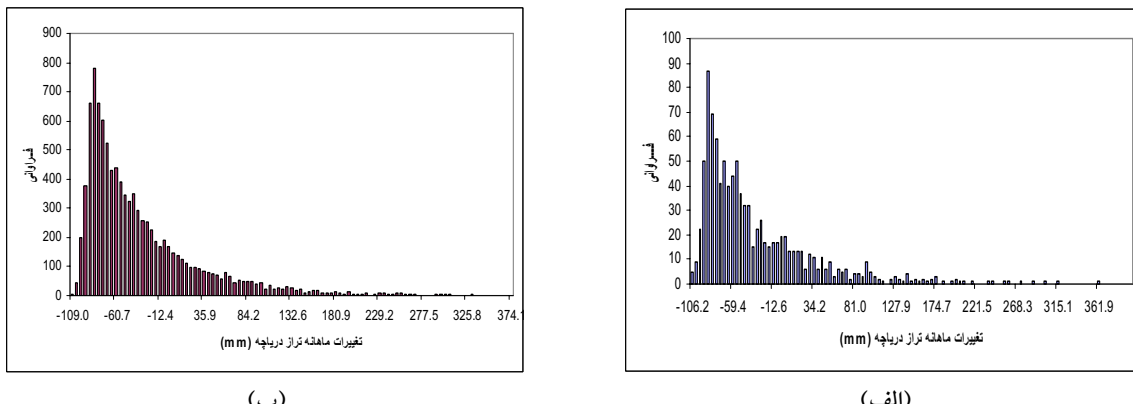
جدول ۴ مقایسه مشخصات آماری نتایج مدل‌های به کار رفته در برآورد تغییرات ماهیانه تراز آب

پس از اعمال تحلیل مونت کارلو به روش تصادفی و مریع لاتین

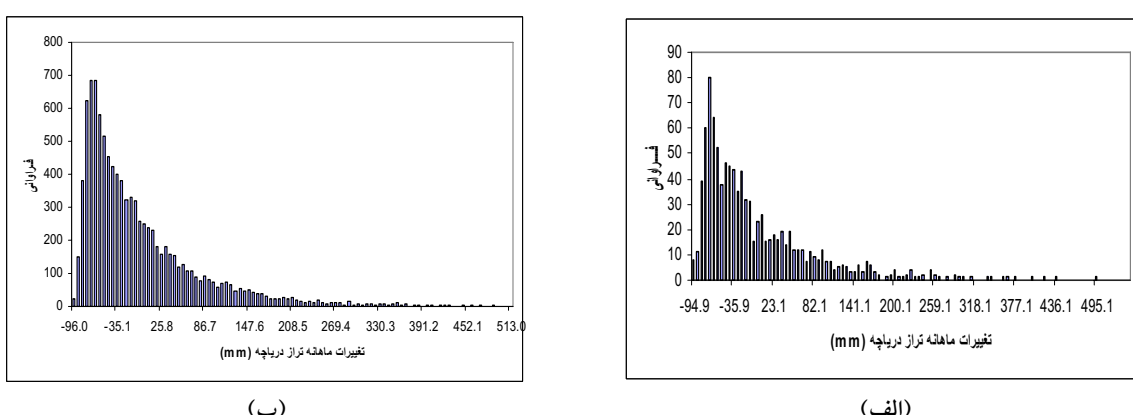
	مدل بیلان آبی	مدل رگرسیون خطی چندگانه	مدل شبکه عصبی (مدل ۱۰)			
روش نمونه‌گیری	تصادفی	مریع	تصادفی	مریع	تصادفی	مریع
میانگین (mm)	-۳۰/۷	-۳۱/۴	-۰/۷۰۳	-۱/۵۲	-۵/۹۱	-۱۲/۶
انحراف معیار (mm)	۶۶/۴	۶۵/۳	۸۴/۴	۸۳	۱۲۵	۱۲۴
واریانس (mm)	۴۴۲۰	۴۲۶۴/۰۹	۷۱۲۰	۶۸۸۹	۱۵۶۲۵	۱۵۳۷۶
حد بالای تغییرات (mm)	۳۶۱/۹	۳۷۸/۰۹۸	۴۹۵/۰۸۴	۵۱۳/۰۰۱۸	۶۱۶/۱۰۳۱	۶۱۶/۱۲۳
حد پایین تغییرات (mm)	-۱۰۶/۱۹۸	-۱۰۸/۹۸	-۹۴/۸۵	-۹۶/۰۴۱	-۱۷۶/۰۰۱	-۱۷۶/۰۳۱
محدوده تغییرات (mm)	۴۶۸/۰۹۸	۴۸۷/۰۷۸	۵۸۹/۹۳۴	۶۰۹/۰۴۲۸	۷۹۲/۱۰۴۱	۷۹۲/۱۶۴

و برازش چندگانه، بیشترین فراوانی خروجی‌ها در محدوده تغییرات منفی بوده و نحوه پراکنده‌گی تغییرات مثبت و منفی تراز دریاچه به صورت یکتابع توزیع واحد با چولگی مثبت قابل توصیف است (شکل‌های ۵ و ۶).

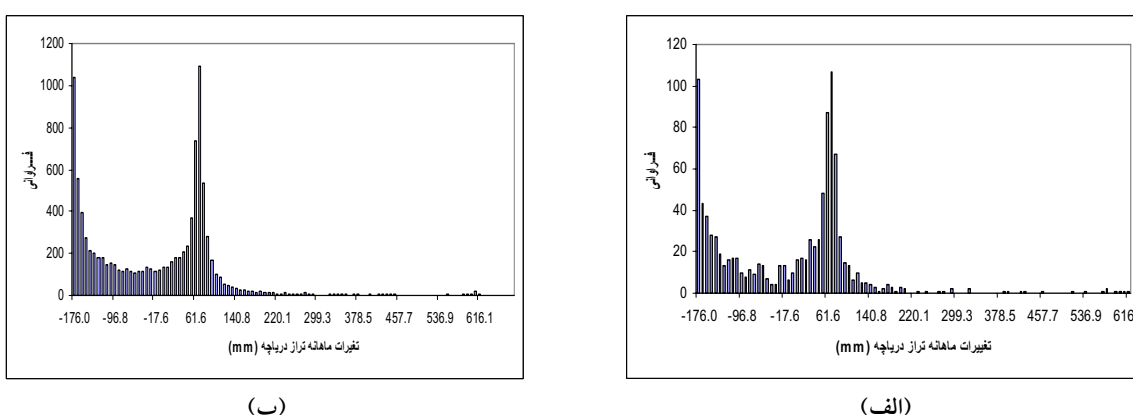
بدین ترتیب مدل شبکه عصبی با انحراف معیاری در حدود ۱۲۵ میلیمتر، بیشترین عدم قطعیت و مدل بیلان آبی با انحراف معیار حدود ۶۶ میلیمتر کمترین عدم قطعیت را دارد. در این میان با استفاده از مدل‌های بیلان آبی



شکل ۵ هیستوگرام خروجی مدل بیلان آبی با استفاده از نمونه‌های الف- مربع لاتین و ب- کاملاً تصادفی

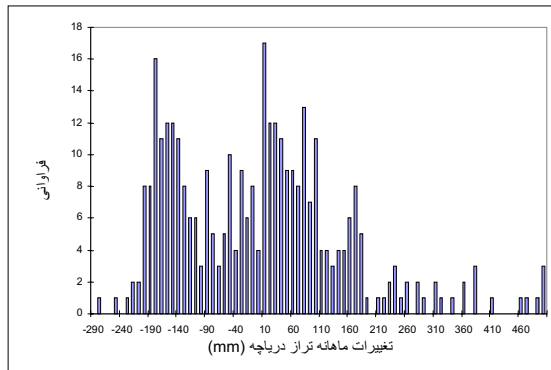


شکل ۶ هیستوگرام خروجی مدل برازش چندگانه با استفاده از نمونه‌های الف- مربع لاتین و ب- کاملاً تصادفی



شکل ۷ هیستوگرام خروجی مدل شبکه عصبی با استفاده از نمونه‌های الف- مربع لاتین و ب- کاملاً تصادفی

نسبت به سایر مدلها، به پارامترهای ورودی کمترین حساسیت و مدل بیلان آبی نسبت به جریان سطحی و تبخیر، بیشترین حساسیت را دارد.



شکل ۸ هیستوگرام مشاهداتی تغییرات تراز دریاچه

اما خروجیهای مدل شبکه عصبی حاکی از حاکمیت یک تابع توزیع چندقطعه‌ای بر تغییرات تراز دریاچه است که برای تغییرات مثبت و منفی تراز متفاوت بوده و با واقعیت طبیعی داده‌های مشاهداتی نیز تطابق بیشتری دارد (شکل‌های ۷ و ۸).

### ۴-۳- تحلیل حساسیت مدلها

در جدول ۵ ضرایب حساسیت نرمال پارامترهای مؤثر در مدلها به کاربرده شده در این تحقیق نمایش داده شده است. نتایج تحلیل حساسیت مدلها حاکی از آن است که تمامی روشها نسبت به ورودیهای سطحی وارد شده به دریاچه بیشترین حساسیت و نسبت به بارندگی بر سطح دریاچه کمترین حساسیت را دارند. در این میان مدل شبکه عصبی

جدول ۵ مقایسه حساسیت مدلهای شبیه‌سازی تغییرات تراز آب

	مدل بیلان آبی	مدل برآذش خطی چندگانه	مدل شبکه عصبی (مدل ۱۰)
ارتفاع معادل حجم ورودی ماهیانه	۰/۹۸	۰/۹۸	-
دبی تجمعی ورودی ماهیانه	-	-	۰/۸۱
متوسط بارندگی ماهیانه	۰/۴۲	۰/۶۵	۰/۳۴
متوسط تبخیر ماهیانه	-۰/۷۳	-۰/۶۳	-۰/۳۸

متوسط تبخیر از دریاچه با دقت بالایی می‌تواند تراز و نوسانات آب دریاچه ارومیه را شبیه‌سازی کند.

۳- در موارد فوق تجزیه و تحلیل تغییرات تراز نسبت به استفاده مستقیم از تراز، نتایج بسیار مطلوب‌تری را در پی داشت.

۴- از میان روش‌های مورد استفاده، شبیه‌سازی نوسانات دریاچه با استفاده از شبکه عصبی مصنوعی کمترین حساسیت را نسبت به عدم قطعیت پارامترهای ورودی دارد. اما این روش نسبت به معادله بیلان آبی و برآذش چندگانه از عدم قطعیت بیشتری در شبیه‌سازی نوسانات دریاچه برخوردار است.

### ۴- نتیجه‌گیری

در این تحقیق سه روش در شبیه‌سازی تغییرات تراز آب دریاچه ارومیه به کار رفته که در بررسی قابلیتهای آنها، تحلیلی از عدم قطعیت و حساسیت آنها انجام شد. نتایج زیر از این تحقیق ارائه می‌شود:

۱- معادله بیلان آبی روش مناسبی برای شبیه‌سازی تراز و نوسانات آب دریاچه‌ها شناسایی نشد که مهمترین علت آن ممکن است نبود اطلاعات کامل و جامع از اجزای معادله و تغییرات مکانی آن باشد. اما مدل برآذش به طور مطلوب‌تری توانست این شبیه‌سازی را به انجام رساند.

۲- مدل شبکه عصبی مصنوعی با ورودیهای همزمان دبی تجمعی ماهیانه ورودی دریاچه، متوسط ماهیانه بارندگی و

## ۵- فهرست علائم

$A(H)$	مساحت دریاچه در تراز متوسط ماهیانه
$b_i$	ضریب برآش مدل
$E(t)$	ارتفاع معادل تبخیر از سطح دریاچه در ماه $t$
$L_t$	تراز دریاچه در ماه $t$
$O$	متغیر خروجی مدل
$P(t)$	ارتفاع معادل بارش بر روی سطح دریاچه در ماه $t$
$p_i$	پارامتر ورودی $i$ ام
$Q_t$	ارتفاع معادل حجم جریان ورودی به دریاچه در ماه $t$
$R_{in}(t)$	حجم جریان ورودی دریاچه در ماه $t$
$S_{P_i}$	انحراف معیار پارامتر ورودی $i$ ام
$S_0$	انحراف معیار پارامترهای خروجی شبیه‌سازی شده
$\Delta H$	تغییرات تراز آب دریاچه نسبت به ماه قبل
$\Delta L_t$	تغییرات تراز دریاچه ماه $t$ نسبت به ماه قبل
$\beta_i$	ضریب حساسیت نرمال پارامتر ورودی $i$ ام

## ۶- منابع

- Charles T. Hann, (2002), Statistical method in hydrology, Iowa state press, Second edition, pp. 390-394.
- Eckhardt K., Breuer L. and Frede H.G. (2003), Parameter uncertainty and the significance of simulated land use change effects, Journal of Hydrology, 273, pp. 164 -176.
- Harrison S.P., (1989), Lake-levels and climatic changes in eastern north America. Climate dynamics 3, pp. 157– 167
- Haykin S., (1994), Neural networks—A comprehensive foundation. Macmillan college publishing company, New York.
- Hope A.S., Stein A.K. and Mcmichael C.E., (2004), Uncertainty in monthly river discharge predictions in a semi-arid shurblad catchment, Hydrology: Science and practice for the 21<sup>st</sup> century, 1, pp. 284-290.
- Jones R.N., McMahon T.A. and Bowler J.M., (2001), Modelling historical lake levels and recent climate change at three closed lakes, Western Victoria, Journal of Hydrology, 246, pp. 59-180.
- Jose D., Salas (1999), Uncertainty analysis of reservoir sedimentation, Journal of hydraulic engineering, April, pp. 339-350
- Skebede S., Travi Y., Alemayehu T. and Marc V., (2005), Water balance of lake Tana and its sensitivity to fluctuations in rainfall, Blue Nile Basin, Ethiopia, Journal of hydrology, pp. 1-15.
- Vrijling J.K. and Van Gelder P.H.A.J, (1999), Uncertainty analysis of water levels on lake Ijssel in the Netherlands, [On Line]. available on the <http://hydr.ct.tudelft.nl/wbk>.
- شرکت صنایع دریایی ایران (صدر)، (۱۳۸۲)، گزارش مطالعات هیدرولیک و هیدرو دینامیک و بررسیهای زیست محیطی دریاچه ارومیه.
- مهندسین مشاور آب نیرو (۱۳۷۱)، مطالعات مرحله دوم مقدماتی بزرگراه شهید کلانتری واقع در دریاچه ارومیه، گزارش مطالعات بیلان دریاچه و تغییرات تراز آب در طول عمر مفید بزرگراه شهید کلانتری.
- Astushi U., Masaki T., and Yoshio I., (2004), Lake-level changes during the past 100,000 years at lake Baikal, Southern Siberia, Quaternary research, 62, pp. 214-222.